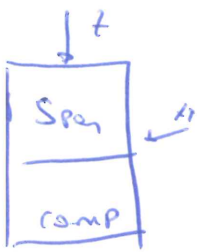


①

Esercizio 1

Calcolo modulo Elastico di osso sano



$$E_o^z = \frac{f_s \cdot E_c}{f_s F_c + f_c F_s} = 1,56 \text{ GPa}$$

$$E_Q^{xy} = f_s F_s + f_c F_c = 8,55 \text{ GPa}$$

Visto che ho solo lo stelo del femore che quindi sarà infisso in diafisi \Rightarrow er. L_{2,3}

$$V_{\text{femore impiantab}} = V_{\text{diafisi}} + V_{\text{epifisi}} = \pi r^2 h + \frac{2}{3} \pi r^3 = \cancel{\dots}$$

$$r_{\text{fem}} = 2 \text{ cm} \quad = 628 + 16,75 = 644,75 \text{ cm}^3$$

$$h_{\text{fem}} = 50 \text{ cm}$$

$$V_{\text{stelo}} = \pi r^2 h = 62,8 \text{ cm}^3$$

$$f_{\text{stelo}} = \frac{V_{\text{stelo}}}{V_{\text{femore impiantab}}} = 9,74 \%$$

Con stelo il modello diventa



$$E_{\text{osPes}}^z = E_o^z (1 - f_{\text{stelo}})^5 = 0,93 \text{ GPa}$$

$$E_{\text{osRes}}^{xy} = E_o^{xy} (1 - f_{\text{stelo}})^5 = 5,12 \text{ GPa}$$

$$f_{\text{osRes}} = 1 - f_{\text{st}} = 0,9076$$

(?)

$$E_T^+ = \frac{E_p E_{osres}^+}{f_p E_{osres}^+ + f_{os} E_p} = \boxed{1,03 \text{ GPa}}$$

$$E_T^{xy} = E_p f_p + E_{osres}^{xy} \text{ for } = \boxed{25,08 \text{ GPa}}$$

Il comportamento meccanico non è simile a quelli che sono tenuti immobilmente.

b) Sezione circolare stelo (*)

Sezione circolare cono (***)

Sezione quadrata ricavata con (****)

$$(*) \quad I^* = \frac{\pi r^4}{4} = 0,75 \text{ cm}^4 = 0,785 \cdot 10^{-8} \text{ m}^4$$

$$(***) \quad I^{**} = \frac{\pi}{4} (R_{est}^{ext} - R_{int}^4) = 0,463 \text{ cm}^4 = 0,463 \cdot 10^{-8}$$

$$(***) \quad I^{***} = \frac{\pi}{12} l^4 = 0,76 \text{ cm}^4 = 0,76 \cdot 10^{-8}$$

L'unto 2 si ha un bending dovuto alla forza R_2

$$\sigma_{ben} = \frac{\Pi \cdot c}{I} = \frac{R_2 \cdot R^2}{I}$$

(3)

calcolare forze in monopattello

$$R_x = -P \cdot M_{sim} = -P(1 - K_{sim})$$

$$R_{xy} = -M_{cord} = -K P_{cord}$$

$$\Pi = KP \quad K = 10$$

$$R_x \approx 1270 \text{ N}$$

$$R_{xy} \approx 7728 \text{ N}$$

$$*) \sigma_{bending} = \frac{R_x R^2}{J^*} = 1,61 \text{ GPa}$$

$$**) \sigma_{bending} = \frac{\Pi R^2}{J^{**}} = 2,74 \text{ GPa}$$

Valori altro
rotore tubolare.

$$***) \sigma_{bending} = \frac{\Pi_2 R^2}{J^{***}} = 4,88 \text{ GPa}$$

Lungo x y ho ferme

$$T = \frac{T_1}{J}$$

$$*) J^* = \frac{\Pi r^4}{4} = 1,57 \cdot 10^{-8} \text{ m}^2$$

$$**) \bar{J}^{**} = \frac{\Pi}{2} (R_{est}^4 - R_{int}^4) = 9,93 \cdot 10^{-8} \text{ m}^2$$

$$***) J^{***} = \frac{\Pi}{6} l^4 = 0,57 \cdot 10^{-8} \text{ m}^2$$

(4)

d. ob der Beton, Ytse

$$\bar{I} = \frac{R_{xy} \cdot ?^2}{J}$$

$$(*) : \bar{I}^* = 4,9 \text{ GPa} = \frac{R_{xy} \cdot ?^2}{J^*}$$

$$(KA) : \bar{I}^{**} = 8,3 \text{ GPa} = \frac{R_{xy} \cdot ?^2}{J^{**}}$$

$$(\times KA) : \bar{I}^{***} = 14,76 \text{ GPa} = \frac{R_{xy} \cdot ?^2}{J^{***}}$$

altri con
diritti di
occasione

\therefore (il cemento assorbe tensione nelle

Esercizio 2

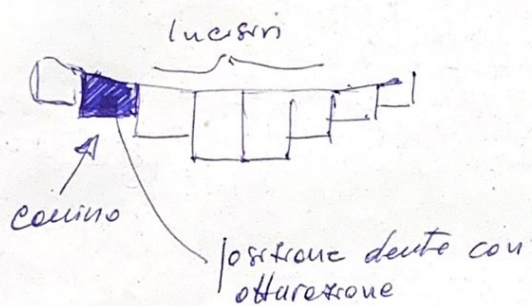
Velocità operativa.

Modello agli eleventi finti per
le stime del profilo di temperatura
ell'interno della corona solare
durante il raffreddamento di una
otturazione cilindrica in un cono
superiore sx, che si trova a 52.5°C
al termine dello sgonfiamento

→ ANALISI TERMICA TRANSIENTE

Equazioni del trasporto di calore
per via diffusiva

ANALISI DELLA GEOMETRIA



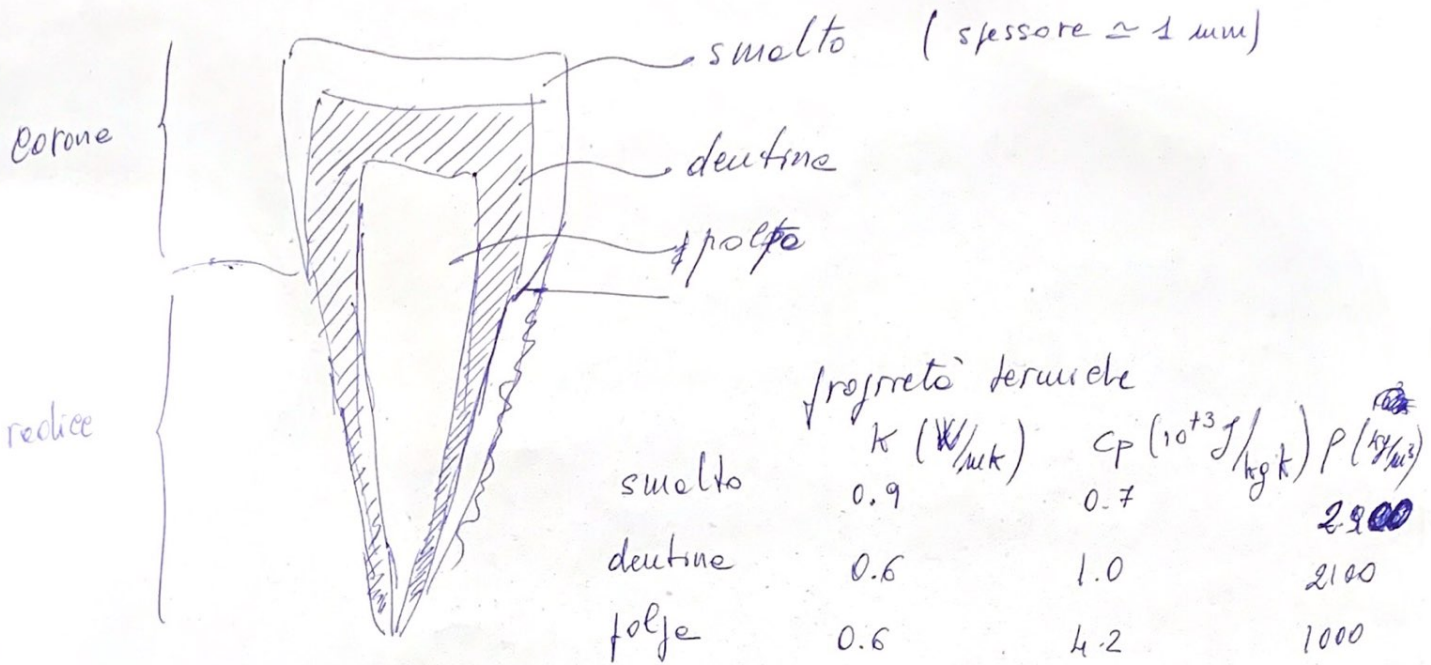
u.b. il deute si trova generalmente e contatto ~~per~~ sia con i deuti vicini sia con l'aria

⇒ per semplificare le trattazioni
si ipotizza che ci sia spazio tra
i deuti (cioè i deuti non sono a
contatto) e che quindi il
deuti sia circondato da aria

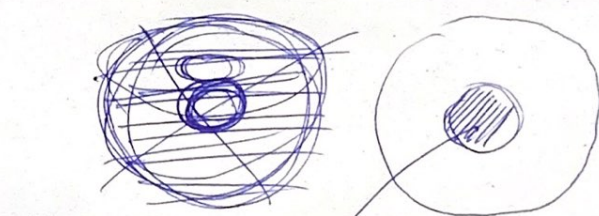
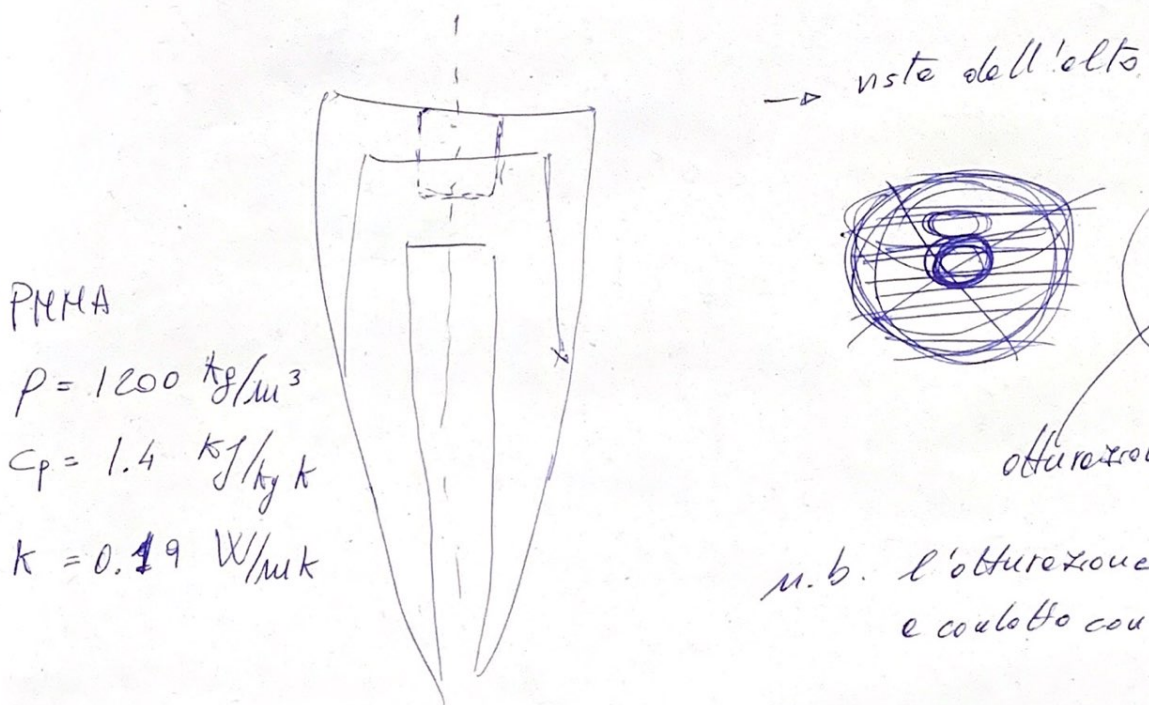
⇒ ipotesi
semplicitativa

Riflessi sulla struttura di un dente

2

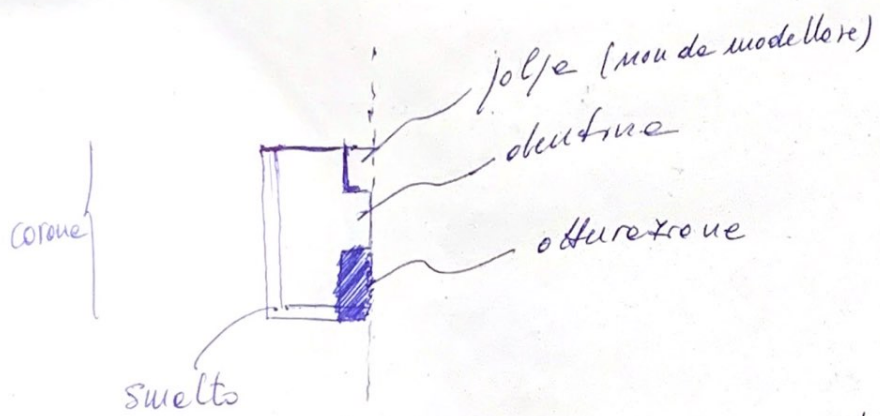


nel caso di otturazione (e bancho e simmetrico)



u.b. l'otturazione è
e contatto con l'erro

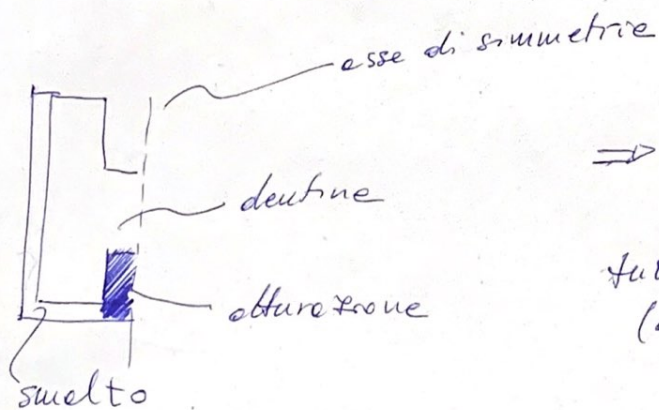
Vediamo la struttura del dente, e utilizzando l'opera semplicissima che non c'è controllo tra deuti e denti, il modello è essenzialmente perché la geometria è essenzialmente le condizioni al contorno ed i materiali sono ~~simili~~ essenzialmente simmetriche



Per le ~~esse~~ caratteristiche fisiche dei dentini vedere la pagina precedente

k , c_p , ρ

→ n.b. la jolle non è da modellare in quanto è un lessato ~~altamente~~ resistentissimo per tutti i menù a 37°C del sangue

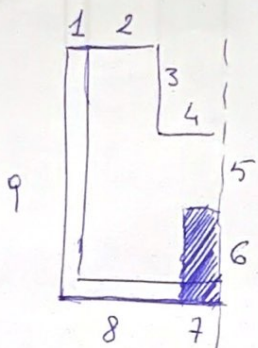


⇒ condizioni iniziali

fatti i lessati (dentina e suelto) sono a 37°C

l'otturazione si trova a 52.5°C

condizioni al contorno



1, 2, 3, 4:

$$\text{Temperatura} = 37^\circ\text{C}$$

(per questi molto possiamo permettere di modellare solo le corone e trascurare la radice)

5, 6:

essere simmetria

7, 8, 9:

flusso di colore

$$\text{con } h = 2 \text{ W/m}^2\text{K}$$

$$T_{inf} = 37^\circ\text{C}$$

altri:

contante

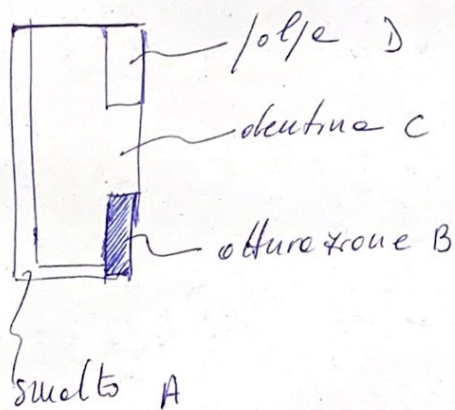
Modello in grado di stimare il campo di spostamenti del dente con l'otturazione

→ ~~Analisi strutturale~~ strutturale

→ considerando le ipotesi semplificate che non ci siano contatti con i denti adiacenti, e volutamente si può considerare il modello essenziale

M.b.: il campo di spostamenti include anche una possibile traslazione rigida del dente, *

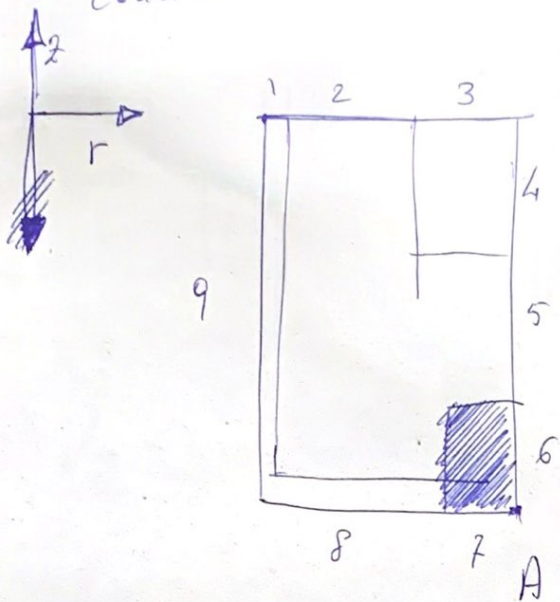
→ come ipotesi semplificativa immaginiamo che il dente sia solido all'osso, * che viene considerato come fiso
in questo modello (\Rightarrow significa che ci sono dei movimenti periodici solo su)



	$E \text{ (N/m)}$	$\rho \text{ (kg/m}^3\text{)}$	L
A	80×10^3	2900	0.45
B	3×10^3	2200	0.4
C	10×10^3	2100	0.4
D	2×10^{-3}	1000	0.48

6

Condizioni di coartamento e sui punti



1, 2, 3

spostamenti nullo ~~o~~



4, 5, 6

essendo simmetrico

altri

messi vincoli

A: cono funzionale in direzione \hat{z}

forza 10 N (stretto)